

## АННИГИЛЯЦИЯ РЕЛЯТИВИСТСКОГО ПОЗИТРОНА И $K$ -ЭЛЕКТРОНА С ИСПУСКАНИЕМ ФОТОНА И ВТОРОГО $K$ -ЭЛЕКТРОНА

А. И. Михайлов, И. А. Михайлов\*

*Петербургский институт ядерной физики им. Б. П. Константинова  
Российской академии наук  
188350, Санкт-Петербург, Россия*

Поступила в редакцию 15 июля 1997 г.

Рассмотрен процесс аннигиляции быстрого позитрона с  $K$ -электроном, сопровождающийся испусканием фотона и второго  $K$ -электрона. Предполагается, что все электроны и позитроны движутся в кулоновском поле ядра и что кулоновский параметр  $\alpha Z \ll 1$  ( $\alpha = 1/137$  — постоянная тонкой структуры,  $Z$  — заряд ядра). Межэлектронное взаимодействие, ответственное за вылет электрона из атома, учтено в первом порядке теории возмущений. Вычислены дифференциальное и полное сечения процесса, построена зависимость отношения сечений двукратной и однократной ионизаций от энергии налетающих позитронов. Найден высокоэнергетический предел этого отношения, равный  $0.34/Z^2$ .

### 1. ВВЕДЕНИЕ

Аннигиляция позитрона со свободным электроном возможна только с излучением двух (или более) фотонов. В противном случае нельзя удовлетворить законам сохранения энергии и импульса. При аннигиляции с атомным электроном из-за присутствия третьего тела (ядра) процесс может быть двухквантовым, одноквантовым и даже безрадиационным, если атом содержит более одного электрона:

$$A + e^+ \rightarrow A^+ + 2\gamma, \quad (1)$$

$$A + e^+ \rightarrow A^+ + \gamma, \quad (2)$$

$$A + e^+ \rightarrow A^{++} + e^-, \quad (3)$$

$A$  — нейтральный атом или ион,  $A^+$  ( $A^{++}$ ) — ион, заряд которого на единицу (две единицы) больше, чем у  $A$ .

Реакция (1) представляет собой кросс-симметричный канал для комптоновского рассеяния фотонов на атоме и так же, как комптоновское рассеяние, может идти с малой передачей импульса ядру. Поэтому среди указанных реакций она характеризуется наибольшим сечением, которое по порядку величины совпадает с сечением на свободном электроном  $\sigma \sim r_0^2$ , где  $r_0 = 2.82 \cdot 10^{-13}$  см — классический радиус электрона. Двухфотонная аннигиляция на атомах исследована явно недостаточно. Авторам известна лишь одна экспериментальная [1] и одна теоретическая [2] работы, результаты которых к тому же расходятся.

Однофотонная аннигиляция (2) является кросс-симметричным каналом для атомного фотоэффекта. Эта реакция идет с передачей ядру большого импульса  $q \sim t$

\*E-mail: Mikhailo@thd.pnpi.spb.ru

( $m$  — масса электрона)<sup>1)</sup> и характеризуется сечением  $\sigma \sim r_0^2 \alpha^4 Z^5$ . Однофотонная аннигиляция на атомах довольно обстоятельно изучалась в работах [3–5].

Безрадиационная аннигиляция (3) рассматривалась в работах [6–9]. В этой реакции выделяющаяся при аннигиляции позитрона и электрона энергия передается другому электрону, который покидает атом. В результате образуется двукратно заряженный ион и свободный электрон с определенной энергией. Реакция (3) связана с передачей большого импульса  $q > 2m$  ядру и большой энергии  $\Delta E > 2m$  освобождающемуся электрону. В силу этого процесс идет на малых расстояниях  $r \sim 1/q$  от ядра и с малым сечением  $\sigma \sim r_0^2 (\alpha Z)^8$  [8, 9].

Возможны и более сложные аннигиляционные процессы на атоме, например однофотонная аннигиляция с вылетом электрона (названия процессам мы даем по числу реально испущенных в реакции фотонов). В результате атом становится двукратно ионизованным, а сам процесс можно назвать двойной ионизацией при однофотонной аннигиляции:



Энергия этой реакции делится между фотоном и электроном. Поэтому в отличие от (2) и (3) здесь мы имеем фотонные и электронные энергетические спектры.

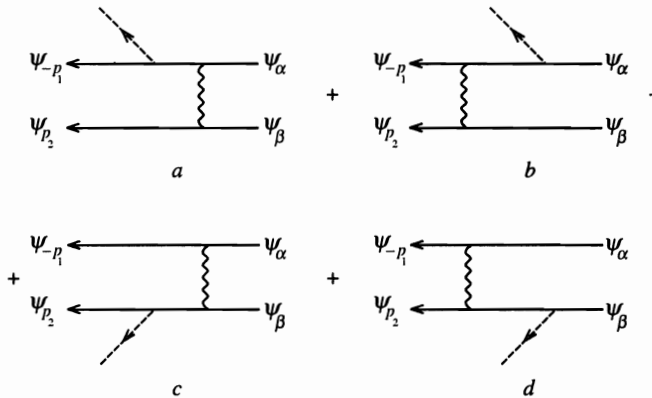
Как будет показано ниже, сечение этой реакции для релятивистских позитронов есть  $\sigma \sim r_0^2 \alpha (\alpha Z)^3$ . Несмотря на появление дополнительной по сравнению с реакцией (3) малости  $\sim \alpha$ , связанной с излучением фотона, оно превосходит сечение безрадиационной аннигиляции. Выделяющаяся энергия распределяется между фотоном и электроном крайне неравномерно. Наибольший вклад в сечение дают две области энергетического спектра: краевая, где наблюдается вылет жесткого фотона и медленного электрона с передачей ядру большого импульса, и центральная, где и фотон, и электрон обладают большой энергией, а передаваемый ядру импульс мал. Краевая область очень узкая, ее ширина порядка энергии связи  $K$ -электрона, однако ее вклад в полное сечение сравним со вкладом от всей остальной части спектра. Центральная область составляет около половины всего спектра, но наиболее весомый вклад в сечение вносит та часть центральной области, которая соответствует вылету более медленных электронов.

Межэлектронное взаимодействие играет важнейшую роль в реакции (4), потому эта реакция, наряду с двойной фотоионизацией



представляет определенный интерес при исследовании электронных корреляций в релятивистской области энергий столкновения [10]. Правда, экспериментальные исследования релятивистских процессов на легких элементах или на внешних оболочках тяжелых атомов, где корреляционные эффекты проявляются наиболее ярко, затруднены из-за малости соответствующих сечений. Однако поведение сечений в релятивистской области имеет свои особенности и заслуживает отдельного рассмотрения. Так, отношение сечения двукратной фотоионизации к сечению однократной, будучи постоянным в пределе больших, но нерелятивистских энергий [11–13], возрастает с энергией фотона при переходе в релятивистскую область, стремясь к новому пределу [10].

<sup>1)</sup> В работе используется релятивистская система единиц, в которой  $\hbar = c = 1$ .



**Рис. 1.** Диаграммы Фейнмана для процесса (4). Сплошные линии изображают электроны в кулоновском поле ядра, штриховая линия — фотон, волнистая линия — межэлектронное взаимодействие (фотонный пропатор)

В настоящей работе мы рассмотрели двойную ионизацию *K*-оболочек атомов и ионов при одноквантовой аннигиляции быстрых позитронов с атомными электронами. Считается, что электроны и позитрон движутся в кулоновском поле ядра с зарядом  $Z$ . Межэлектронное взаимодействие учитывается в первом порядке теории возмущений, что оправданно при  $Z \gg 1$ . В то же время предполагается, что  $\alpha Z \ll 1$ , и все аналитические выражения получены разложением по этому параметру. Однако в задаче есть еще один кулоновский параметр,  $\xi = \alpha Z E/p$  ( $E, p$  — энергия и импульс электрона), который не всегда мал. В таких случаях зависимость от параметра  $\xi$  учитывалась точно. Найдены энергетический спектр и угловые распределения электронов и фотонов, а также полное сечение процесса. Рассчитана энергетическая зависимость отношения сечений двукратной и однократной ионизации. Приведены простые формулы в высокоэнергетическом пределе в релятивистской и нерелятивистской областях. Показано, что при нерелятивистских энергиях позитронов сечение двукратной ионизации может превзойти сечение однократной ионизации в случае аннигиляции на легких атомах.

## 2. АМПЛИТУДА И СЕЧЕНИЕ ДВОЙНОЙ ИОНИЗАЦИИ ПРИ ОДНОФОТОННОЙ АННИГИЛЯЦИИ В КРАЕВОЙ ОБЛАСТИ ЭНЕРГЕТИЧЕСКОГО СПЕКТРА

Процесс двойной ионизации при однофотонной аннигиляции в первом порядке по межэлектронному взаимодействию изображается восемью диаграммами Фейнмана, четыре из которых приведены на рис. 1. Другие четыре диаграммы отличаются от приведенных знаком и перестановкой состояний  $\psi_\alpha$  и  $\psi_\beta$  начальных электронов<sup>2)</sup>.

При излучении фотона с энергией  $\omega \ll m$  все графики одного порядка, а их вклад в полное сечение в  $\alpha^{-1}$  раз меньше сечения безрадиационной аннигиляции (3). Из-за малости этого вклада мы не рассматриваем низкоэнергетическую часть фотонного спектра.

<sup>2)</sup> Буква  $\alpha$  используется как для обозначения начального состояния электрона, так и в качестве постоянной тонкой структуры, однако в формулах всегда ясно, в каком смысле она употреблена.

При излучении жесткого фотона и медленного электрона графики  $a$  и  $b$  доминируют, так как их фотонный пропагатор значительно превосходит фотонный пропагатор графиков  $c$  и  $d$ . Поясним это. На графиках  $a$  и  $b$  виртуальный фотон переносит энергию  $E_2 - E_\beta = \varepsilon_2 + I$  ( $\varepsilon_2 = E_2 - m$  — кинетическая энергия эжектированного электрона,  $I = m\alpha^2 Z^2/2$  — энергия связи  $K$ -электрона), тогда как на графиках  $c$  и  $d$  переносимая энергия равна  $E_1 + E_\alpha \simeq E_1 + m$  ( $E_1$  — энергия позитрона). Соответственно, графики  $a$  и  $b$  будут значительно больше графиков  $c$  и  $d$ .

При испускании высокоэнергетических фотона и электрона нужно учитывать все четыре графика рис. 1 вместе с четырьмя другими, полученными из первых перестановкой начальных (либо конечных) состояний.

Итак, в высокоэнергетической части фотонного спектра можно выделить две области, дающие основной вклад в полное сечение. Это краевая область, примыкающая к предельному значению фотонной энергии  $\omega_{max} = E_1 + m$ , или область медленных электронов (с кинетической энергией  $\varepsilon_2 \sim I$ ), и центральная (или средняя) область, где энергия реакции делится между фотоном и электроном таким образом, что их суммарный импульс лишь на величину порядка  $\eta = m\alpha Z$  отличается от импульса позитрона (импульс  $q$ , переданный ядру, мал:  $q \sim \eta$ ). Эти две области надо рассматривать раздельно, так как в первой из них в значительной степени сохраняется картина нерелятивистского приближения, а во второй надо использовать полностью релятивистский подход.

Рассмотрим сначала краевую область фотонного спектра. Здесь надо отбросить графики  $c$  и  $d$  ввиду их крайней малости. Сравним теперь графики  $a$  и  $b$ . Существенное различие этих графиков связано с разной величиной электронных пропагаторов  $G_a$  и  $G_b$  в той части спектра, где электрон уносит малую энергию  $\varepsilon_2 \sim I$ . Пропагатор  $G_a$  есть кулоновская функция Грина медленного электрона, тогда как  $G_b$  — функция Грина электрона с большой отрицательной энергией ( $-E_1$ ). Поскольку энергия входит в знаменатель пропагатора, график  $b$  оказывается во много раз меньше графика  $a$  и должен быть отброшен. Амплитуда двойной ионизации при однофотонной аннигиляции в краевой области дается только графиком  $a$  и графиком, полученным из  $a$  перестановкой начальных состояний  $\psi_\alpha$  и  $\psi_\beta$ :

$$M_{edg}^{++} = M_{\alpha\beta} - M_{\beta\alpha}. \quad (6)$$

В координатном представлении амплитуду  $M_{\alpha\beta}$  можно представить в виде<sup>3)</sup>

$$M_{\alpha\beta} = \int \bar{\phi}(\mathbf{r}') \gamma^\mu \psi_\alpha(\mathbf{r}') d\mathbf{r}' \int \frac{e^{iR\Delta}}{4\pi R} \bar{\psi}_{p_2}(\mathbf{r}) \gamma_\mu \psi_\beta(\mathbf{r}) d\mathbf{r}, \quad (7)$$

$$\bar{\phi}(\mathbf{r}') = \int \bar{\psi}_{-p_1}(\mathbf{r}'') \hat{e}^* \exp(-i\mathbf{k}\mathbf{r}'') G_C^E(\mathbf{r}'', \mathbf{r}') d\mathbf{r}'', \quad (8)$$

$$R = |\mathbf{r} - \mathbf{r}'|, \quad \Delta = E_2 - E_{1s} = \varepsilon_2 + I, \quad E = E_{1s} - \Delta = m - \varepsilon_2 - 2I, \quad (9)$$

$2I$  — энергия ионизации  $K$ -оболочки,  $\hat{a} = \gamma_0 a_0 - \boldsymbol{\gamma} \mathbf{a}$ ,  $\gamma_0, \boldsymbol{\gamma}$  — матрицы Дирака,  $G_C^E(\mathbf{r}'', \mathbf{r}')$  — релятивистская кулоновская функция Грина для электрона с энергией  $E$ . В (7) суммирование по  $\mu$  подразумевается.

<sup>3)</sup> Множители  $4\pi\alpha$  от фотонного пропагатора и  $\sqrt{4\pi\alpha/2\omega}$  от волновой функции фотона включены в выражение для сечения.

В дальнейшем мы не будем интересоваться поляризационными явлениями, потому ограничимся рассмотрением линейно поляризованных фотонов с импульсом  $\mathbf{k}$  и вектором поляризации  $\mathbf{e}$ . Тогда

$$\hat{e}^* = \hat{e} = -\gamma\mathbf{e}, \quad \mathbf{ek} = 0. \quad (10)$$

Дираковски-сопряженная волновая функция  $\bar{\psi} = \psi^+\gamma_0$ , функции  $\bar{\psi}_{-p_1}$  и  $\bar{\psi}_{p_2}$  — волновые функции позитрона и электрона сплошного спектра,  $E_1, \mathbf{p}_1$  ( $E_2, \mathbf{p}_2$ ) — энергия и импульс позитрона (вылетающего электрона),  $\psi_\alpha, \psi_\beta$  — волновые функции  $K$ -электронов с различной ориентацией спина. Волновые функции всех электронов и позитрона — кулоновские. Это является неплохим приближением для ионов и атомов, так как интегралы по  $\mathbf{r}$  и  $\mathbf{r}'$  насыщаются на расстояниях  $r \sim r' \sim 1/\eta$  ( $\eta = m\alpha Z$  — средний импульс  $K$ -электрона), где поле ядра слабо экранировано электронами. Интеграл по  $r''$  сходится на еще меньших расстояниях — при  $r'' \sim 1/|\mathbf{k} - \mathbf{p}_1| \sim 1/m$ , где поле кулоновское.

Так как в краевой области вылетающий из атома электрон медленный ( $p_2 \sim \eta$ ), векторная часть электронного тока мала по сравнению со скалярной:

$$\bar{\psi}_{p_2}\gamma\psi_\beta \sim \frac{\mathbf{p}_2}{m}\varphi_{p_2}^*\varphi_\beta, \quad \bar{\psi}_{p_2}\gamma_0\psi_\beta \sim \varphi_{p_2}^*\varphi_\beta. \quad (11)$$

$\varphi_{p_2}, \varphi_\beta$  — нерелятивистские кулоновские функции свободного и связанного электронов.

Дальнейшие вычисления будем проводить в импульсном представлении. При учете (11) выражение для амплитуды  $M_{\alpha\beta}$  значительно упрощается:

$$M_{\alpha\beta} = \int \frac{d\mathbf{f}}{(2\pi)^3} F_1(-\mathbf{p}_1, \mathbf{f}, \alpha) D(\mathbf{f}) F_2(\mathbf{p}_2, \mathbf{f}, \beta), \quad (12)$$

$$F_1(-\mathbf{p}_1, \mathbf{f}, \alpha) = \int \frac{d\mathbf{f}' d\mathbf{f}_1}{(2\pi)^6} \langle \psi_{-p_1} | \mathbf{f}' - \mathbf{k} \rangle \hat{e} \langle \mathbf{f}' | G_C | \mathbf{f}_1 \rangle \gamma_0 \langle \mathbf{f}_1 + \mathbf{f} | \psi_\alpha \rangle, \quad (13)$$

$$F_2(\mathbf{p}_2, \mathbf{f}, \beta) = \int \frac{d\mathbf{f}_2}{(2\pi)^3} \langle \psi_{p_2} | \mathbf{f}_2 \rangle \gamma_0 \langle \mathbf{f}_2 - \mathbf{f} | \psi_\beta \rangle, \quad (14)$$

$$D(\mathbf{f}) = \frac{1}{\mathbf{f}^2 - \Delta^2 - i0}, \quad \Delta = \varepsilon_2 + I, \quad (15)$$

$\langle \mathbf{f}' | G_C | \mathbf{f} \rangle \equiv G_C^E(\mathbf{f}', \mathbf{f})$  — релятивистская кулоновская функция Грина в импульсном представлении.

Поскольку интегралы (12)–(14) насыщаются при  $f \sim f_1 \sim f_2 \sim \eta$ , в низшем приближении по  $\alpha Z$  можно положить

$$D(\mathbf{f}) = 1/f^2 \quad (16)$$

и использовать нерелятивистские кулоновские функции для  $K$ -электронов и эжектированного электрона:

$$\begin{aligned}
 |\psi_\alpha\rangle &= |1s\rangle u_0(\alpha), \quad |\psi_\beta\rangle = |1s\rangle u_0(\beta), \quad \langle\psi_{p_2}| = \bar{u}_{p_2}\langle\varphi_{p_2}|, \\
 u_0(\alpha) &= \begin{pmatrix} w(\alpha) \\ 0 \end{pmatrix}, \quad u_0(\beta) = \begin{pmatrix} w(\beta) \\ 0 \end{pmatrix}, \quad w(\alpha) = \begin{pmatrix} 1 \\ 0 \end{pmatrix}, \quad w(\beta) = \begin{pmatrix} 0 \\ 1 \end{pmatrix}, \\
 \bar{u}_{p_2} &= (w_2^+, 0), \quad w_2 \equiv w(\lambda_2), \quad w^+(\lambda)w(\lambda) = 1, \\
 |1s\rangle &= N_1 \left( -\frac{\partial}{\partial\eta} \right) V_{i\eta}|0\rangle, \quad N_1^2 = \frac{\eta^3}{\pi}, \quad \eta = m\alpha Z, \\
 \langle\mathbf{f}'|V_{i\eta}|\mathbf{f}\rangle &= \frac{4\pi}{(\mathbf{f}' - \mathbf{f})^2 + \eta^2}.
 \end{aligned} \tag{17}$$

Здесь  $u$  — биспинор Дирака,  $w$  — спинор Паули,  $|0\rangle$  — плоско-волновое состояние с нулевым импульсом.

Используя (17), получаем для  $F_2$  (14) следующее выражение:

$$F_2(\mathbf{p}_2, \mathbf{f}, \beta) = w_2^+ w(\beta) N_1 \left( -\frac{\partial}{\partial\eta} \right) \langle\varphi_{p_2}|V_{i\eta}|\mathbf{f}\rangle. \tag{18}$$

Расчет  $F_1$  (13) значительно сложнее, так как туда входит релятивистская кулоновская функция Грина с малой кинетической энергией  $E - m \sim I$ . Для такой функции Грина кулоновский параметр  $\xi = \alpha Z E / p \sim 1$ , и разложение по нему невозможно. Для релятивистского позитрона, напротив, возможно разложение как по  $\alpha Z$ , так и по параметру  $\xi_1 = \alpha Z E_1 / p_1 \approx \alpha Z$  [14]:

$$\langle\psi_{-p_1}| = \bar{u}_{-p_1} \left\{ \langle -\mathbf{p}_1| - \alpha Z \langle -\mathbf{p}_1|\hat{V}_0 G_1 + \dots \right\}, \tag{19}$$

$G_1$  — релятивистский пропагатор свободного электрона с энергией  $-E_1$ ,  $\bar{u}_{-p_1} = u_{-p_1}^+ \gamma_0$ ,  $u_{-p_1}$  — биспинор с 4-импульсом  $-p_1$ . Первый член этого разложения (нулевое приближение по  $\alpha Z$ ) — плоская волна. Мы оставляем в (19) два члена, так как подстановка в (13) первого члена разложения приводит к нулевому результату в пределе  $\alpha Z \rightarrow 0$ . Обозначим  $F_{10}$  вклад плоской волны в интеграл (13). Вычисление с функцией  $\psi_\alpha$  из (17) дает

$$F_{10} = N_1 \bar{u}_{-p_1} \hat{e}U(\mathbf{f})u_0, \quad U(\mathbf{f}) = -\frac{\partial}{\partial\eta} \langle\kappa|G_C V_{i\eta}|\mathbf{f}\rangle, \tag{20}$$

$$\kappa = \mathbf{k} - \mathbf{p}_1.$$

В (20) входит матричный элемент от релятивистской кулоновской функции Грина для электрона с малой кинетической энергией. Однако заменить эту функцию Грина на нерелятивистскую нельзя, так как она вычисляется при большом значении одного из импульсов (пользуясь законом сохранения энергии, можно показать, что  $\kappa > 2m$ ). Преобразуем  $U(\mathbf{f})$  к такому виду, чтобы гриновский оператор  $G_C$  стоял в обкладках нерелятивистских импульсов  $f \sim f' \sim \eta$ . С этой целью используем уравнение Липпмана-Швингера [15]:

$$G_C = G - \alpha Z G \hat{V}_0 G_C. \tag{21}$$

Здесь  $\hat{V}_0 = \gamma_0 V_0$ ,  $-\alpha Z V_0$  — оператор взаимодействия электрона с кулоновским полем ядра,  $G$  — релятивистский гриновский оператор в отсутствие поля. Матричный элемент этого оператора определяется равенством

$$\langle \mathbf{f} | G | \mathbf{f}' \rangle = G(\mathbf{f})(2\pi)^3 \delta(\mathbf{f} - \mathbf{f}'), \quad G(\mathbf{f}) = \frac{E\gamma_0 - \boldsymbol{\gamma}\mathbf{f} + m}{p^2 - f^2 + i0}, \quad p^2 = E^2 - m^2. \quad (22)$$

Заметим, что при  $E - m \ll m$ ,  $f \sim \eta$  релятивистский оператор  $G(\mathbf{f})$  связан с соответствующим нерелятивистским оператором простым соотношением:

$$G(\mathbf{f}) = G^{nr}(\mathbf{f}) \frac{\gamma_0 + 1}{2}, \quad G^{nr}(\mathbf{f}) = \frac{2m}{p^2 - f^2 + i0}. \quad (23)$$

Подставляя (21) в (20), получим

$$U(\mathbf{f})u_0 = -\frac{\partial}{\partial \eta} G(\boldsymbol{\kappa}) \left\{ \langle \boldsymbol{\kappa} | V_{i\eta} | -\mathbf{f} \rangle - \alpha Z \int \frac{d\mathbf{f}'}{(2\pi)^3} \langle \boldsymbol{\kappa} | \hat{V}_0 | \mathbf{f}' \rangle \langle \mathbf{f}' | G_C V_{i\eta} | -\mathbf{f} \rangle \right\} u_0. \quad (24)$$

Главный вклад в интеграл (24) набирается при  $f' \sim \eta$ . При таких  $\mathbf{f}'$  множитель  $\langle \boldsymbol{\kappa} | V_0 | \mathbf{f}' \rangle \approx 4\pi/\kappa^2$  выносится из-под знака интеграла, а релятивистская функция  $G_C$  сводится к нерелятивистской кулоновской функции Грина  $G_C^{nr}$ . Действительно, интегрируя уравнение Липпмана-Швингера, получаем

$$G_C u_0 = (G - \alpha Z G \hat{V}_0 G + \dots) u_0 = (G^{nr} - \alpha Z G^{nr} V_0 G^{nr} + \dots) u_0 = G_C^{nr} u_0, \quad (25)$$

где мы использовали (23) и равенства

$$\gamma_0^2 = 1, \quad \left( \frac{\gamma_0 + 1}{2} \right)^n = \frac{\gamma_0 + 1}{2}, \quad \frac{\gamma_0 + 1}{2} u_0 = u_0. \quad (26)$$

Оба члена в фигурных скобках (24) — величины одного порядка<sup>4)</sup>, но после взятия производной по  $\eta$  первый член умножится на  $2\eta/\kappa^2$ , тогда как второй — на величину  $\sim 1/\eta$ . Поэтому первый член в (24) надо отбросить. Тогда

$$U(\mathbf{f})u_0 \simeq \frac{4\pi\alpha Z}{\kappa^2} G(\boldsymbol{\kappa}) \frac{\partial}{\partial \eta} \int \frac{d\mathbf{f}'}{(2\pi)^3} \langle \mathbf{f}' | G_C^{nr} V_{i\eta} | -\mathbf{f} \rangle u_0. \quad (27)$$

Используя результаты работ [15, 16], можно получить довольно простое выражение для интеграла из (27):

$$J(\eta, \mathbf{f}) = \int \frac{d\mathbf{f}'}{(2\pi)^3} \langle \mathbf{f}' | G_C^{nr} V_{i\eta} | -\mathbf{f} \rangle = \frac{2ipm}{4\pi} I_y \langle 0 | V_{py+i\eta} | \mathbf{f} \rangle, \quad (28)$$

$$I_y = \int_1^\infty dy \left( \frac{y+1}{y-1} \right)^{i\xi}, \quad \xi = \frac{\alpha Z m}{p}.$$

Окончательное выражение для  $F_{10}$  принимает вид

<sup>4)</sup> Хотя перед интегралом в (24) и стоит множитель  $\alpha Z$ , но сам интеграл  $\sim 1/\alpha Z$ , как можно убедиться, подставив вместо  $G_C$  свободную функцию Грина (22).

$$F_{10} = N_1 \bar{u}_{-p_1} \hat{e} \left( 1 + \frac{\tilde{\kappa}}{2m} \right) u_0 \frac{4ip\eta m}{\kappa^4} \left( -\frac{\partial}{\partial \eta} \right) I_y \langle \mathbf{f} | V_{py+i\eta} | 0 \rangle, \quad (29)$$

$\bar{a} = \alpha \mathbf{a}$ ,  $\alpha = \gamma_0 \gamma$  — матрица Дирака.

Оценим теперь  $F_{11}$  — вклад в интеграл (13) от второго члена (19):

$$\begin{aligned} F_{11} &= \alpha Z N_1 \bar{u}_{-p_1} \langle \kappa | V_0 | 0 \rangle G_1(-\mathbf{k}) \hat{e} \frac{\partial}{\partial \eta} J(\eta, \mathbf{f}) u_0 = \\ &= \frac{4\pi\alpha Z N_1}{\kappa^2(\omega^2 - p_1^2)} \frac{\partial J(\eta, \mathbf{f})}{\partial \eta} \bar{u}_{-p_1} (\omega - \tilde{k}) \hat{e} u_0 \end{aligned} \quad (30)$$

( $\omega$  — энергия фотона).

Суммируя вклады (29),(30), находим амплитуду  $F_1$  (13):

$$F_1(-\mathbf{p}_1, \mathbf{f}, \alpha) = F_{10} + F_{11} = -T(\lambda_1, \alpha) \frac{\partial J(\eta, \mathbf{f})}{\partial \eta}, \quad (31)$$

$$T(\lambda_1, \alpha) = N_1 \frac{8\pi\eta}{\kappa^4} \bar{u}_{-p_1}(\lambda_1) \hat{e} \left( 1 + \frac{\tilde{\kappa}}{2m} + \frac{\tilde{k} - \omega}{2m} \frac{\kappa^2}{\omega^2 - p_1^2} \right) u_0(\alpha). \quad (32)$$

Величина  $T(\lambda_1, \alpha)$  есть амплитуда однофотонной аннигиляции позитрона с поляризацией  $\lambda_1$  и  $K$ -электрона с поляризацией  $\alpha$ , вычисленная в низшем порядке по  $\alpha Z$ .

Подставляя (16), (18) и (31) в (12), получим

$$M_{\alpha\beta} = A_{\alpha\beta} I_y \frac{\partial^2}{\partial \eta \partial \eta'} \int \frac{d\mathbf{f}}{(2\pi)^3} \langle \varphi_{p_2} | V_{i\eta'} | \mathbf{f} \rangle \frac{1}{f^2} \langle \mathbf{f} | V_{py+i\eta} | 0 \rangle, \quad (33)$$

$$A_{\alpha\beta} = \frac{ipm}{2\pi} N_1 T(\lambda_1, \alpha) \omega_2^+ \omega(\beta). \quad (34)$$

После взятия производных в (33) надо положить  $\eta' = \eta$ . С помощью равенства

$$\frac{1}{f^2} \langle \mathbf{f} | V_{ia} | 0 \rangle = \frac{1}{a^2} \langle \mathbf{f} | V_0 - V_{ia} | 0 \rangle$$

и операторного тождества [14]

$$\frac{\partial}{\partial a} V_{ia} V_{ib} = V_{i(a+b)}$$

преобразуем (33) к виду

$$M_{\alpha\beta} = A_{\alpha\beta} I_y \frac{\partial}{\partial \mu} \frac{1}{(\mu - \eta')^2} \langle \varphi_{p_2} | V_{i\mu} - V_{i\eta} | 0 \rangle, \quad (35)$$

$$\mu = 2\eta + r y, \quad r = -ip = \sqrt{p_2^2 + 2\eta^2}.$$

Матричный элемент  $\langle \varphi_{p_2} | V_{ia} | 0 \rangle$  с кулоновской функцией сплошного спектра  $\varphi_{p_2}$  для действительных  $a$  имеет вид [17]

$$\langle \varphi_{p_2} | V_{ia} | 0 \rangle = \frac{4\pi N_{p_2}}{p_2^2 + a^2} \exp\left(-2\xi_2 \operatorname{arctg} \frac{p_2}{a}\right), \quad (36)$$

$$N_{p_2}^2 = \frac{2\pi\xi_2}{1 - \exp(-2\pi\xi_2)}, \quad \xi_2 = \frac{\eta}{p_2}.$$



Введем безразмерный параметр  $\nu$  и выразим через него другие параметры задачи:

$$\nu = \frac{\varepsilon_2}{I} = \frac{p_2^2}{\eta^2}, \quad \xi_2 = \frac{\eta}{p_2} = \frac{1}{\sqrt{\nu}}, \quad i\xi = \frac{\eta}{r} = \frac{1}{\sqrt{\nu+2}}. \quad (37)$$

Перейдем в (35) к новой переменной интегрирования

$$t = \frac{1-y}{1+y}.$$

После подстановки (36) в (35) получаем

$$M_{\alpha\beta} = -K(\nu) T(\lambda_1, \alpha) w^+(\lambda_2) w(\beta), \quad (38)$$

$$K(\nu) = N_1 N_{p_2} \frac{m}{\eta^4} J(\nu), \quad (39)$$

$$J(\nu) = \frac{8\zeta^2}{(1+\zeta)^3} \left( \frac{I_1}{\nu+1} - \frac{I_2}{\nu+2} \right), \quad \zeta = \frac{1}{\sqrt{\nu+2}}, \quad (40)$$

$$I_1 = \exp\left(-\frac{2}{\sqrt{\nu}} \arctg \sqrt{\nu}\right) \int_0^1 dt \frac{t^{-\zeta}(1-t)}{(1+st)^3}, \quad s = \frac{1-\zeta}{1+\zeta}, \quad (41)$$

$$I_2 = \int_0^1 dt \frac{t^{-\zeta}(1-t)^3}{(1+st)^3} \phi_1(t) \phi_2(t), \quad (42)$$

$$\phi_1(t) = \exp\left[-\frac{2}{\sqrt{\nu}} \arctg \frac{\sqrt{\nu}(1-t)}{a+bt}\right], \quad a = \sqrt{\nu+2} + 2, \quad b = \sqrt{\nu+2} - 2,$$

$$\phi_2(t) = \frac{(3\zeta^2 + 1)(1-t)^2 + 6\zeta(1-t^2) + 2(1+t)^2}{[(2\zeta^2 + 1)(1-t)^2 + 4\zeta(1-t^2) + (1+t)^2]^2}. \quad (43)$$

Дифференциальное сечение двойной ионизации при однофотонной аннигиляции, просуммированное по поляризациям фотона ( $\lambda_k$ ) и конечного электрона ( $\lambda_2$ ) и усредненное по поляризации позитрона ( $\lambda_1$ ), имеет вид<sup>9)</sup>

$$d\sigma^{++} = \frac{(4\pi\alpha)^3}{2\omega j} \frac{|M^{++}|^2}{(2\pi)^5} \frac{d\mathbf{p}_2 d\mathbf{k}}{\delta(\omega + E_2 - E_1 - 2m)}, \quad (44)$$

$j = p_1/E_1$  — плотность потока позитронов,  $M^{++}$  — амплитуда двойной ионизации при однофотонной аннигиляции.

Сечение для краевой области получается отсюда заменой  $\overline{|M^{++}|^2}$  на

$$\begin{aligned} \overline{|M_{edg}^{++}|^2} &= \frac{1}{2} \sum_{\lambda_k \lambda_1 \lambda_2} |M_{\alpha\beta} - M_{\beta\alpha}|^2 = K^2(\nu) \frac{1}{2} \sum_{\lambda_k \lambda_1} [|T(\lambda_1, \alpha)|^2 + |T(\lambda_1, \beta)|^2] = \\ &= 2K^2(\nu) \cdot \frac{1}{4} \sum_{\lambda_k \lambda_1 \lambda_0} |T(\lambda_1, \lambda_0)|^2 = 2K^2(\nu) \overline{|M^{++}|^2}. \end{aligned} \quad (45)$$

<sup>9)</sup> Нормировочные множители  $1/\sqrt{2E}$  от электронных волновых функций включены в соответствующие биспиноры  $u_p$ , которые нормированы условием  $\bar{u}_p u_p = m/E$ .

Здесь  $\overline{|M^+|^2}$  — просуммированный по поляризации фотона ( $\lambda_k$ ) и усредненный по поляризациям позитрона ( $\lambda_1$ ) и связанного электрона ( $\lambda_0$ ) квадрат амплитуды однофотонной аннигиляции. Дифференциальное сечение однофотонной аннигиляции на двух  $K$ -электронах выражается через эту величину:

$$d\sigma^+ = \frac{4\pi\alpha}{\omega_j} \overline{|M^+|^2} \frac{d\mathbf{k}}{(2\pi)^2} \delta(\omega - E_1 - m). \quad (46)$$

Равенство (44) справедливо в любой части спектра. Особенностью же краевой части является простая связь между сечениями двукратной и однократной ионизаций, которая усматривается из формул (44)–(46):

$$d\sigma_e^{++} = \frac{2}{\pi} \alpha^2 K^2(\nu) d\mathbf{p}_2 d\sigma^+. \quad (47)$$

Направим ось  $z$  вдоль импульса позитрона  $\mathbf{p}_1$ . Обозначим через  $\theta_k, \varphi_k$  ( $\theta_2, \varphi_2$ ) полярный и азимутальный углы вылета фотона с импульсом  $\mathbf{k}$  (электрона с импульсом  $\mathbf{p}_2$ ),  $d\Omega_k$  ( $d\Omega_2$ ) — телесный угол, в который испускается фотон (электрон). Тогда<sup>6)</sup>

$$d\mathbf{p}_2 = m p_2 d\varepsilon_2 d\Omega_2 = \frac{\eta^3}{2} \sqrt{\nu} d\nu d\Omega_2, \quad (48)$$

$$\pi d\sigma^+ = \sigma_0 Z^5 S(\theta_k) d\Omega_k, \quad \sigma_0 = \pi r_0^2 \alpha^4, \quad (49)$$

$$S(\theta_k) = 2^5 (E_1 + m) \frac{p_1 m^4}{\kappa^6} \left( \frac{E_1 + 2m}{4m} - \frac{m^2}{\kappa^2} \right) \sin^2 \theta_k, \quad \kappa = |\mathbf{p}_1 - \mathbf{k}|. \quad (50)$$

После подстановки (48), (49) в (47) получаем тройное дифференциальное сечение:

$$\frac{d\sigma_e^{++}}{d\nu d\Omega_2 d\Omega_k} = \frac{Q(\nu) d\sigma^+}{4\pi Z^2 d\Omega_k}, \quad Q(\nu) = \frac{8J^2(\nu)}{1 - \exp(-2\pi/\sqrt{\nu})}. \quad (51)$$

Характерной особенностью соотношения (51) является независимость сечения от направления вылета электрона, т.е. медленные электроны, возникающие в процессе двойной ионизации при однофотонной аннигиляции, распределены изотропно по телесному углу. Интегрируя (51) по углам вылета фотона и электрона, находим энергетическое распределение медленных электронов ( $\varepsilon_2 \ll m$ , или  $\nu \ll (\alpha Z)^{-2}$ ):

$$\frac{d\sigma_e^{++}}{d\nu} = \frac{Q(\nu)}{Z^2} \sigma^+, \quad \sigma^+ = \sigma_0 Z^5 \varphi(E_1), \quad (52)$$

$$\varphi(E_1) = \frac{4m^3}{p_1(E_1 + m)^2} \left( \frac{E_1^2}{m^2} + \frac{2}{3} \frac{E_1}{m} + \frac{4}{3} - \frac{E_1 + 2m}{p_1} \ln \frac{E_1 + p_1}{m} \right). \quad (53)$$

Функция  $Q(\nu)$  графически изображена на рис. 2. Используя формулы (40)–(42), можно получить значения  $Q(\nu)$  при малых и больших  $\nu$ :

$$Q(0) = 0.168, \quad Q(\nu) = \frac{4}{\pi} \nu^{-7/2} \quad \text{при } \nu \gg 1. \quad (54)$$

<sup>6)</sup> Выражение для сечения однофотонной аннигиляции из [18] может быть сведено к виду (49), (50).

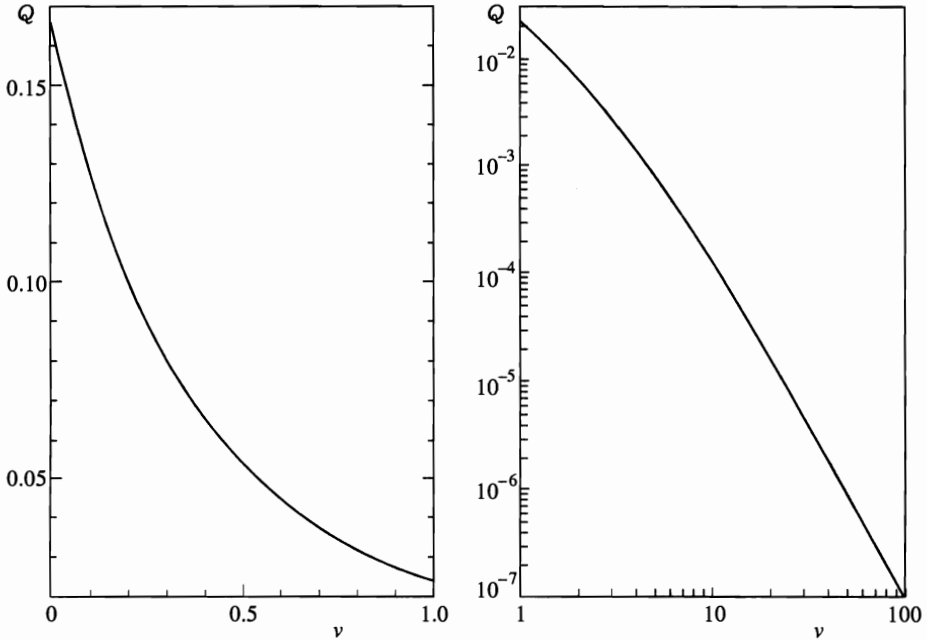


Рис. 2. Энергетический спектр медленных электронов  $Q(\nu) = Z^2 d\sigma_e^{++} / \sigma^+ d\nu$ ,  $\nu = \varepsilon_2 / I$

Так как  $Q(\nu)$  быстро убывает с возрастанием  $\nu$ , при вычислении вклада от всей краевой области интегрирование по  $\nu$  можно распространить до  $\infty$ :

$$\sigma_e^{++} = \frac{B}{Z^2} \sigma^+ = \sigma_0 Z^3 B \varphi(E_1), \quad B = \int_0^\infty Q(\nu) d\nu = 0.090. \quad (55)$$

Отношение  $Z^2 \sigma_e^{++} / \sigma^+ = B$  является константой, не зависящей ни от энергии налетающего позитрона, ни от заряда ядра.

Угловые распределения электронов и фотонов из краевой области очень просты:

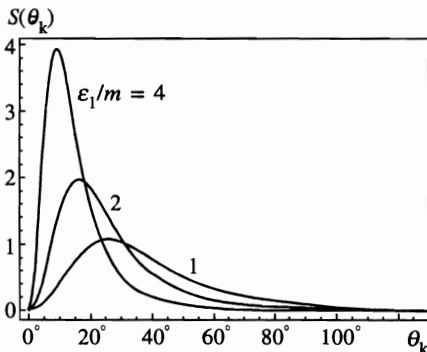


Рис. 3. Угловые распределения фотонов  $S(\theta_k) = \pi(\sigma_0 Z^5)^{-1} d\sigma^+ / d\Omega_k$ , испущенных в процессе (2)

$$\frac{d\sigma_e^{++}}{d\Omega_2} = \frac{\sigma_e^{++}}{4\pi}, \quad \frac{d\sigma_e^{++}}{d\Omega_k} = \frac{B}{Z^2} \frac{d\sigma^+}{d\Omega_k} = B\sigma_0 Z^3 S(\theta_k). \quad (56)$$

Угловая функция  $S(\theta_k)$  для различных энергий позитрона построена на рис. 3. Она имеет максимум при углах  $\theta < \pi/2$ . Этот максимум сужается и смещается к малым углам с увеличением энергии позитрона. Отсутствует излучение фотонов «вперед», т. е. в направлении падающего позитронного пучка.

### 3. АМПЛИТУДА И СЕЧЕНИЕ ДВОЙНОЙ ИОНИЗАЦИИ ПРИ ОДНОФОТОННОЙ АННИГИЛЯЦИИ В ЦЕНТРАЛЬНОЙ ОБЛАСТИ ЭНЕРГЕТИЧЕСКОГО СПЕКТРА

Будем называть центральной ту часть энергетического спектра, в которой передаваемый ядру импульс может быть малым ( $q \sim \eta$ ). Существует довольно широкая срединная область спектра, где  $q = 0$ . Ее границы определяются из условия совместности двух уравнений:

$$\mathbf{p}_2 + \mathbf{k} = \mathbf{p}_1, \quad E_2 + \omega = E_1 + 2m. \quad (57)$$

Решая их, находим

$$\frac{2m\omega_0}{E_0 + p_1} \leq \omega \leq \frac{2m\omega_0}{E_0 - p_1}, \quad (58)$$

$$\omega_0 = E_1 + m, \quad E_0 = E_1 + 2m.$$

Здесь  $\omega_0$  и  $E_0$  — максимальные энергии, которые могут иметь фотон и электрон, испускаемые в процессе двойной ионизации при однофотонной аннигиляции. В центральной области нужно учитывать все четыре диаграммы рис. 1 и четыре диаграммы с переставленными  $\psi_\alpha$  и  $\psi_\beta$ . Вычислим сначала диаграммы *a* и *b* рис. 1 (диаграммы *c* и *d* получаются из них перестановкой  $\psi_{-p_1} \leftrightarrow \psi_{p_2}$ ,  $\psi_\alpha \leftrightarrow \psi_\beta$ ). Так как эжектированный электрон релятивистский, виртуальный фотон переносит большую энергию. Большая энергия будет и у электрона в промежуточном состоянии (*y* функции Грина). По этой причине в качестве волновых функций позитрона и электрона можно взять плоские волны, а в качестве функции Грина — свободную релятивистскую функцию Грина  $G$ . Волновые функции связанных электронов по-прежнему кулоновские. Амплитуды  $M_a$ ,  $M_b$  для рассматриваемых диаграмм имеют вид

$$M_a = \bar{u}_{-p_1} \hat{e} G(\mathbf{k}) \gamma^\mu \int \frac{d\mathbf{f}}{(2\pi)^3} \langle \mathbf{q} - \mathbf{f} | \psi_\alpha \rangle D(\mathbf{p}_2 - \mathbf{f}) \bar{u}_{p_2} \gamma_\mu \langle \mathbf{f} | \psi_\beta \rangle, \quad (59)$$

$$M_b = \bar{u}_{-p_1} \gamma^\mu \int \frac{d\mathbf{f}}{(2\pi)^3} G(\mathbf{q} - \mathbf{k} - \mathbf{f}) \hat{e} \langle \mathbf{q} - \mathbf{f} | \psi_\alpha \rangle D(\mathbf{p}_2 - \mathbf{f}) \bar{u}_{p_2} \gamma_\mu \langle \mathbf{f} | \psi_\beta \rangle. \quad (60)$$

Фотонный пропагатор  $D(\mathbf{f})$  определен в (15). В области энергий, где  $q \sim \eta$ , основной вклад в интегралы (59), (60) дают  $f \sim \eta$ . Оставляя только главные члены, получим

$$D(\mathbf{p}_2 - \mathbf{f}) \simeq \frac{1}{2m\epsilon_2}, \quad G(\mathbf{q} - \mathbf{k} - \mathbf{f}) \simeq G(-\mathbf{k}),$$

$$M_a = \frac{\phi(\mathbf{q})}{2m\varepsilon_2} \bar{u}_{-p_1} \hat{e}G(\boldsymbol{\kappa})\gamma^\mu u_0(\alpha)\bar{u}_{p_2}\gamma_\mu u_0(\beta), \quad (61)$$

$$M_b = \frac{\phi(\mathbf{q})}{2m\varepsilon_2} \bar{u}_{-p_1}\gamma^\mu G(-\mathbf{k})\hat{e}u_0(\alpha)\bar{u}_{p_2}\gamma_\mu u_0(\beta), \quad (62)$$

$$\phi(\mathbf{q}) = \int \frac{d\mathbf{f}}{(2\pi)^3} \langle \mathbf{q} - \mathbf{f} | 1s \rangle \langle \mathbf{f} | 1s \rangle = \left( \frac{4\eta^2}{q^2 + 4\eta^2} \right)^2, \quad (63)$$

$$G(\boldsymbol{\kappa}) = \frac{\gamma_0 E_a - \boldsymbol{\gamma}\boldsymbol{\kappa} + m}{E_a^2 - \boldsymbol{\kappa}^2 - m^2} \approx \frac{\gamma_0 E_a + \boldsymbol{\gamma}\mathbf{p}_2 + m}{-4m\varepsilon_2}, \quad E_a = m - \varepsilon_2, \quad (64)$$

$$G(-\mathbf{k}) = \frac{\gamma_0 E_b + \boldsymbol{\gamma}\mathbf{k} + m}{E_b^2 - \mathbf{k}^2 - m^2} \approx \frac{\gamma_0 E_b + \boldsymbol{\gamma}\mathbf{k} + m}{-2m\omega}, \quad E_b = m - \omega. \quad (65)$$

При получении (61), (62) мы положили  $q = 0$  всюду, кроме множителя  $\phi(\mathbf{q})$ . Сечение процесса пропорционально  $\phi^2(\mathbf{q})$ . Именно с этим множителем связан особый статус центральной области, поскольку здесь  $\phi^2(\mathbf{q}) \sim 1$ , тогда как вне этой области  $\phi^2(\mathbf{q}) \sim (\alpha Z)^8$ . Следует иметь в виду, что при  $q \gg \eta$  выражения (61), (62) непригодны, однако заключение о малости вклада этих областей в сечение (за исключением очень узкой краевой области  $p_2 \sim \eta$ , рассмотренной в предыдущем разделе) остается в силе.

Обозначим буквами со штрихом диаграммы рис. 1 с переставленными начальными состояниями. Если в диаграммах  $a, b$  ( $a', b'$ ) переставить состояния  $\psi_{-p_1}$  и  $\psi_{p_2}$ , то получим диаграммы  $c', d'$  ( $c, d$ ) соответственно. Полную амплитуду двойной ионизации при однофотонной аннигиляции, учитывающую вклад всех восьми диаграмм Фейнмана, можно представить в виде

$$M^{++} = M(-p_1, p_2) - M(p_2, -p_1), \quad (66)$$

$$M(-p_1, p_2) = M_a + M_b - M_{a'} - M_{b'}, \quad M(p_2, -p_1) = M_{c'} + M_{d'} - M_c - M_d.$$

Амплитуду процесса в центральной области обозначим  $M_{centr}^{++}$ . Она получается из (66), если в качестве  $M_a, M_b$  и т. д. взять выражения (61), (62) и подобные им. Квадрат амплитуды (66), просуммированный и усредненный по поляризациям частиц, как в (44), (45), после длительной процедуры вычисления следов, принимает неожиданно компактный вид:

$$|M_{centr}^{++}|^2 = \frac{\phi^2(\mathbf{q})W(\omega)}{(2m)^4 E_1 E_2}, \quad (67)$$

$$W(\omega) = \left( \frac{\varepsilon_2 + \omega_0}{\varepsilon_2 \omega_0} \right)^2 \left\{ E_1 E_2 - m^2 - p_{1n} p_{2n} + \left( \frac{m\omega}{\varepsilon_2 \omega_0} \right)^2 (E_1 E_2 + m^2 + p_{1n} p_{2n} - 2\varepsilon_2 \omega_0) \right\}, \quad (68)$$

$$p_{1n} = \mathbf{p}_{1\mathbf{n}} = \frac{E_1^2 - E_2^2 + \omega^2}{2\omega}, \quad p_{2n} = \mathbf{p}_{2\mathbf{n}} = \frac{E_1^2 - E_2^2 - \omega^2}{2\omega}, \quad (69)$$

$$\mathbf{n} = \mathbf{k}/k, \quad \varepsilon_2 + \omega = \omega_0.$$

Выражение (68) можно еще упростить<sup>7)</sup>, если перейти к безразмерным величинам  $x = \omega/\omega_0$  и  $\gamma = m/\omega_0$ :

<sup>7)</sup> Мы приводим формулу (68), потому что из нее, используя перекрестную инвариантность, легко получить формулу для квадрата амплитуды релятивистского двойного фотоэффекта.

$$W(\omega) \equiv W(x) = \gamma \left( \frac{2-x}{1-x} \right)^2 \left\{ 2(x-\gamma) + \left[ 1 - \left( \frac{\gamma x}{1-x} \right)^2 \right] \left[ 4 \frac{1-x}{x} - \gamma \left( \frac{2-x}{x} \right)^2 \right] \right\}. \quad (70)$$

Подставив в (44) вместо  $\overline{M^{++}}^2$  выражение (67), получим дифференциальное сечение двойной ионизации при однофотонной аннигиляции в центральной части спектра:

$$d\sigma_c^{++} = \frac{\alpha r_0^2}{16\pi^2} \phi^2(\mathbf{q}) W(x) \frac{d\Gamma}{m^2 p_1}, \quad (71)$$

$$d\Gamma = \frac{1}{E_2 \omega} d\mathbf{p}_2 d\mathbf{k} \delta(E_2 + \omega - E_0), \quad E_0 = E_1 + 2m.$$

До выполнения интегрирования с энергетической  $\delta$ -функцией удобно перейти от переменной  $\mathbf{p}_2$  к переменной  $\mathbf{q} = \mathbf{p}_2 + \mathbf{k} - \mathbf{p}_1$ , заменив  $d\mathbf{p}_2$  на  $d\mathbf{q}$ . При фиксированных  $\Omega_k$  (направлении вылета фотона) и  $\mathbf{q}$  энергия электрона  $E_2$  зависит от  $\omega$ . Поэтому после интегрирования по  $\omega$  надо сделать замену

$$d\omega \delta(E_2(\omega) + \omega - E_0) \longrightarrow \left| \frac{\partial E_2}{\partial \omega} + 1 \right|^{-1}, \quad (72)$$

где производная  $\partial E_2 / \partial \omega$  берется при значении  $\omega$ , являющемся корнем уравнения

$$E_2(\omega) + \omega - E_0 = 0. \quad (73)$$

Учитывая, что при интегрировании по  $\mathbf{q}$  существенны только малые  $q \sim \eta$  (центральная область), находим

$$\omega = \omega(t_k) = \frac{2m\omega_0}{E_0 - p_1 t_k}, \quad t_k = \cos \theta_k, \quad (74)$$

$$d\Gamma = \frac{\omega^2}{2m\omega_0} d\mathbf{q} d\Omega_k. \quad (75)$$

Подставляя (75) в (71) и интегрируя по  $\mathbf{q}$ , получим угловое распределение фотонов:

$$\frac{d\sigma_c^{++}}{d\Omega_k} = \frac{\sigma_0 Z^3 \omega_0}{32\pi p_1} x^2 W(x), \quad x = x(\theta_k). \quad (76)$$

Соотношение (74) позволяет связать  $dt_k$  с  $dx$ :

$$dt_k = \frac{2m}{p_1} \frac{dx}{x^2}, \quad (77)$$

и перейти от углового распределения (76) к энергетическому:

$$\frac{d\sigma_c^{++}}{dx} = \frac{\sigma_0 Z^3 m}{8 \varepsilon_1} W(x), \quad \varepsilon_1 = E_1 - m. \quad (78)$$

На основании (74) заключаем, что  $x_1 \leq x \leq x_2$ , где

$$x_1 = \frac{2m}{E_0 + p_1}, \quad x_2 = \frac{2m}{E_0 - p_1}. \quad (79)$$

Интегрируя (78) по  $x$ , находим вклад всей центральной области в полное сечение двойной ионизации при однофотонной аннигиляции:

$$\sigma_c^{++} = \sigma_0 Z^3 f(E_1), \quad f(E_1) = \frac{1}{8} \frac{m}{\varepsilon_1} \int_{x_1}^{x_2} W(x) dx. \quad (80)$$

Поскольку в области  $\mathbf{q} = 0$  углы  $\theta_k, \theta_2$  и энергия фотона  $\omega$  связаны между собой соотношением

$$t_k = \frac{p_1 - p_2 t_2}{\omega} \quad \left( t_2 = \cos \theta_2 = \frac{p_2 p_1}{p_2 p_1} \right), \quad (81)$$

следующим из (57), можно в качестве независимой переменной взять угол вылета электрона  $\theta_2$  и получить электронное угловое распределение. Для этого выразим  $\omega$  и  $d\omega$  через  $t_2$  и  $dt_2$ :

$$\omega = \omega(t_2) = E_0 g \pm \sqrt{(E_0 g)^2 - \hbar^2}, \quad d\omega = \frac{p_1 p_2^2 dt_2}{E_0 p_2 - p_1 E_2 t_2}, \quad (82)$$

$$g = \frac{\omega_0^2 - (p_1 t_2)^2}{E_0^2 - (p_1 t_2)^2}, \quad \hbar^2 = \frac{\omega_0^4 - (p_0 p_1 t_2)^2}{E_0^2 - (p_1 t_2)^2}, \quad p_0^2 = E_0^2 - m^2. \quad (83)$$

В (82) берется знак «+» для  $\pi/2 \leq \theta_2 \leq \pi$  и знак «-» для  $0 \leq \theta_2 \leq \pi/2$ . Подставляя (82) в (78), получаем угловое распределение быстрых электронов:

$$\frac{d\sigma_c^{++}}{d\Omega_2} = \frac{\sigma_0 Z^3}{16\pi} \frac{m}{p_1} \frac{p_2^2 W(x)}{E_0 p_2 - p_1 E_2 t_2}. \quad (84)$$

#### 4. ОБСУЖДЕНИЕ РЕЗУЛЬТАТОВ

Угловые распределения фотонов и электронов, принадлежащих центральной части энергетического спектра, показаны на рис. 4. Фотонная угловая функция  $Y(\theta_k) = A^{-1} d\sigma_c^{++}/d\Omega_k$ ,  $A = \sigma_0 Z^3$ , построена по (76) для двух значений кинетической энергии позитрона  $\varepsilon_1$ :  $m, 2m$ . Электронная угловая функция  $Y(\theta_2) = A^{-1} d\sigma_c^{++}/d\Omega_2$  построена по (84) для трех значений  $\varepsilon_1$ :  $m, 2m, 4m$ . Значения  $\varepsilon_1$  в единицах  $m$  указаны на кривых. Сравнивая фотонные и электронные угловые спектры, замечаем, что фотоны летят преимущественно «вперед», тогда как электроны распределены по углам вылета более равномерно. Напомним, что в краевой области вероятность излучения фотона «вперед» равняется нулю, а электроны испускаются изотропно.

Энергетические спектры фотонов (78) для трех значений  $\varepsilon_1$  приведены на рис. 5. Каждая кривая заключена в интервале  $x_1(\varepsilon_1) \leq x \leq x_2(\varepsilon_1)$ . Чтобы судить о поведении величины  $d\sigma_c^{++}/dx$  вне этого интервала, надо проинтегрировать (71) по углам вылета фотона и электрона. Можно показать, что при таком методе расчета мы придем к формуле

$$\frac{d\sigma_c^{++}}{dx} = A \frac{m}{8\varepsilon_1} W(x)v(x),$$

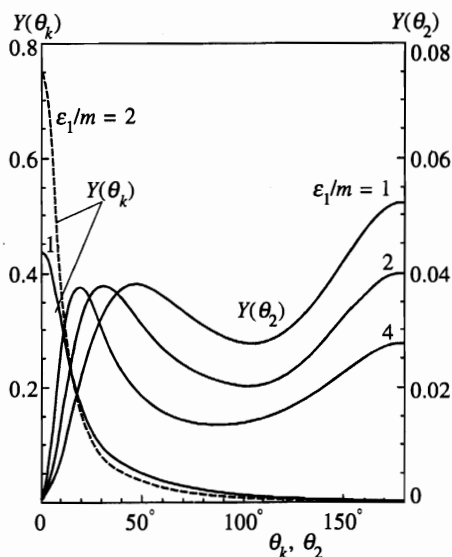


Рис. 4

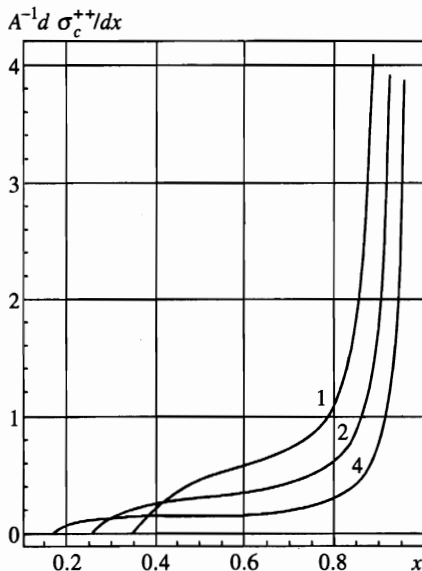


Рис. 5

Рис. 4. Угловые распределения фотонов  $Y(\theta_k) = A^{-1}d\sigma_c^{++}/d\Omega_k$  и электронов  $Y(\theta_2) = A^{-1}d\sigma_e^{++}/d\Omega_2$ , принадлежащих центральной части энергетического спектра,  $A = \sigma_0 Z^3$

Рис. 5. Распределение фотонов по энергии в центральной части спектра,  $A = \sigma_0 Z^3$ . Значения кинетической энергии позитрона в единицах массы электрона указаны на кривых

где множитель  $v(x)$  равен единице при  $x_1 < x < x_2$  и уменьшается на 2-3 порядка при удалении на  $\Delta x \sim \alpha Z$  от этого интервала.

Полное сечение двойной ионизации при однофотонной аннигиляции является суммой вкладов от краевой (55) и центральной (80) областей энергетического спектра:

$$\sigma^{++} = \sigma_e^{++} + \sigma_c^{++} = \sigma_0 Z^3 [B\varphi(E_1) + f(E_1)]. \tag{85}$$

Отношение сечений двукратной (85) и однократной (52) ионизаций есть

$$R = \frac{\sigma^{++}}{\sigma^+} = \frac{B + \beta(E_1)}{Z^2}, \tag{86}$$

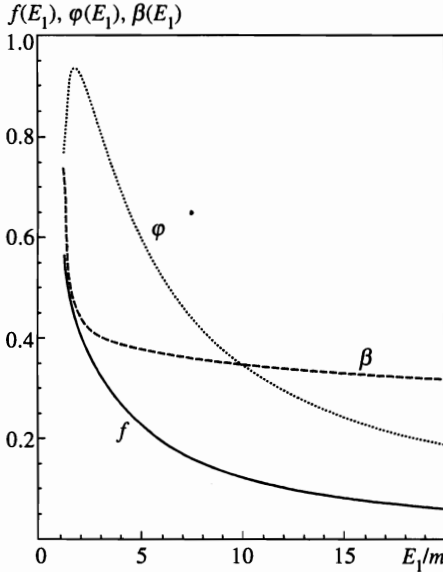
$$\beta(E_1) = f(E_1)/\varphi(E_1). \tag{87}$$

Функции  $f(E_1)$ ,  $\varphi(E_1)$  и  $\beta(E_1)$  представлены на рис. 6. Функции  $f(E_1)$  и  $\beta(E_1)$  монотонно убывают с увеличением  $E_1$ , тогда как  $\varphi(E_1)$  имеет максимум при  $E_1 \approx 2m$ . Исследуем аналитически поведение этих функций при малых и больших энергиях  $\epsilon_1$ .

При  $I \ll \epsilon_1 \ll m$  (условие  $\eta \ll p_1 \ll m$  также должно быть выполнено) находим

$$f(E_1) \approx \frac{8}{27} \frac{m}{p_1}, \quad \varphi(E_1) \approx \frac{4}{3} \frac{p_1}{m}, \quad \beta(E_1) \approx \frac{2}{9} \left(\frac{m}{p_1}\right)^2 = \frac{1}{9} \frac{m}{\epsilon_1}. \tag{88}$$





**Рис. 6.** Зависимость от энергии позитронов  $E_1$  полных сечений двукратной и однократной ионизаций и их отношения:  
 $f(E_1) = \sigma_c^{++}/\sigma_0 Z^3$ ,  $\varphi(E_1) = \sigma^+/\sigma_0 Z^5$ ,  
 $\beta(E_1) = Z^2 \sigma_c^{++}/\sigma^+$

Интересно, что для малых  $Z$  и малых  $\varepsilon_1$  величина  $R$  может стать больше единицы, т. е. двукратная ионизация становится более вероятной, чем однократная (для Не потенциал ионизации  $I \sim 10^{-4}m$  и при  $\varepsilon_1 = 10^{-2}m$  отношение сечений  $R \approx 2.5$ ). Такой результат целиком обусловлен особой ролью центральной части энергетического спектра. Излучение двух частиц (фотона и электрона) дает возможность процессу (4) протекать без передачи ядру большого импульса, что приводит к увеличению сечения. В процессе же (2) уменьшение импульса позитрона  $p_1$  приводит к росту передаваемого ядру импульса  $q$ . В результате сечение однофотонной аннигиляции в нерелятивистской области убывает вместе с  $p_1$  ( $\sim p_1/m$ ), тогда как сечение двойной ионизации возрастает при уменьшении  $p_1$  ( $\sim m/p_1$ ).

При  $E_1 \gg m$  можно получить асимптотические разложения по обратным степеням  $E_1$ :

$$\begin{aligned}
 f(E_1) &\simeq \frac{m}{E_1} \left[ 1 + \frac{m}{4E_1} \left( 11 \ln \frac{E_1}{m} + 6 \ln 2 - 23 + \frac{1}{6} \right) \right], \\
 \varphi(E_1) &\simeq \frac{4m}{E_1} \left( 1 - \frac{4}{3} \frac{m}{E_1} \right), \\
 \beta(E_1) &\simeq \frac{1}{4} \left[ 1 + \frac{1}{4} \frac{m}{E_1} \left( 11 \ln \frac{E_1}{m} + 6 \ln 2 - \frac{35}{2} \right) \right], \\
 R(E_1) &\xrightarrow{E_1 \rightarrow \infty} \frac{1}{Z^2} \left( B + \frac{1}{4} \right) = \frac{0.340}{Z^2}.
 \end{aligned}
 \tag{89}$$

Как видно из (89), функция  $\beta(E_1)$  очень медленно выходит на асимптотику: даже при  $E_1/m = 100$  величина  $\beta(E_1)$  отличается от своего асимптотического значения  $1/4$  на 10%.

Хотя для высоких значений  $Z$  мы не можем рассчитывать на точные результа-

ты, оценим полное сечение двойной ионизации при однофотонной аннигиляции для  $Z = 82$ ,  $E_1 = 2m$  и сравним его с соответствующим сечением двойной ионизации  $K$ -оболочки в безрадиационной аннигиляции (3) [8, 9]. Так как для тяжелых атомов нормировочные множители  $N_{p_2}$  и  $N_{-p_1}$  электронной и позитронной волновых функций заметно отличаются от единицы, мы сохраним их в формулах для сечения (как и в работах [8, 9]). Тогда (85) модифицируется следующим образом:

$$\sigma^{++} = N_{p_2}^2 N_{-p_1}^2 \sigma_0 Z^3 [B\varphi(E_1) + f(E_1)], \quad (90)$$

$$N_{-p_1}^2 = \frac{2\pi\xi_1}{\exp(2\pi\xi_1) - 1}, \quad \xi_1 = \alpha Z \frac{E_1}{p_1},$$

$N_{p_2}^2$  определено в (36).

Расчет по этой формуле дает

$$\sigma^{++}(Z = 82, E_1 = 2m) = 4.3 \cdot 10^{-29} \text{ см}^2.$$

Для процесса (3) при тех же условиях имеем [8, 9]<sup>8)</sup>

$$\sigma \simeq 1.8 \cdot 10^{-29} \text{ см}^2.$$

Таким образом, несмотря на дополнительную малость  $\alpha$ , связанную с излучением фотона, сечение двойной ионизации при однофотонной аннигиляции оказалось больше сечения безрадиационной аннигиляции даже для тяжелых элементов. С уменьшением  $Z$  это превосходство усиливается, достигая нескольких порядков при малых  $Z$ . Причиной такого поведения являются два фактора: а) фотон, которым обмениваются электроны, в процессе (4) значительно менее виртуален, чем в процессе (3); б) излучение фотона в процессе (4) существенно уменьшает импульс, передаваемый ядру.

В заключение авторы хотели бы поблагодарить В. Г. Горшкова и Л. Н. Лабзовского за интерес к работе и полезные обсуждения.

## Литература

1. T. Nagatomo, Y. Nakayama, K. Morimoto, and S. Shimizu, Phys. Rev. Lett. **32**, 1158 (1974).
2. В. Г. Горшков, А. И. Михайлов, С. Г. Шерман, ЖЭТФ **72**, 32 (1977).
3. W. R. Johnson, D. J. Buss, and C. O. Carroll, Phys. Rev. **135**, A1232 (1964); W. R. Johnson, Phys. Rev. **159**, 61 (1967).
4. H. Mazaki, M. Nishi, and S. Shimizu, Phys. Rev. **171**, 408 (1968).
5. K. W. Broda and W. R. Johnson, Phys. Rev. A **6**, 1693 (1972).
6. H. S. W. Massey and E. H. S. Burhop, Proc. Roy. Soc. A **167**, 53 (1938).
7. S. Shimizu, T. Mukoyama, and Y. Nakayama, Phys. Rev. **173**, 405 (1968).
8. А. И. Михайлов и С. Г. Порсев, J. Phys. **B25**, 1097 (1992).
9. А. И. Михайлов, С. Г. Порсев, ЖЭТФ **105**, 828 (1994).
10. E. G. Drukarev and F. F. Karpeshin, J. Phys. B **9**, 399 (1976).
11. F. W. Byron and C. J. Joachain, Phys. Rev. **164**, 1 (1967).

<sup>8)</sup> Сечение, приведенное в [9], должно быть умножено на 2.

12. T. Aberg, *Phys. Rev. A* **2**, 1726 (1970).
13. M. Ya. Amusia, E. G. Drukarev, V. G. Gorshkov, and M. P. Kazachkov, *J. Phys. B* **8**, 1248 (1975).
14. V. G. Gorshkov, A. I. Mikhailov, and V. S. Polikanov, *Nucl. Phys.* **55**, 273 (1964).
15. В. Г. Горшков, *ЖЭТФ* **47**, 352 (1964).
16. В. Г. Горшков, В. С. Поликанов, *Письма в ЖЭТФ* **9**, 464 (1969).
17. М. Я. Амусья, А. И. Михайлов, *ЖЭТФ* **111**, 862 (1997).
18. А. И. Ахиезер, В. Б. Берестецкий, *Квантовая электродинамика*, Физматгиз, Москва (1959).